

COMISIÓN INTERAMERICANA DEL ATÚN TROPICAL

COMITÉ CIENTÍFICO ASESOR

SEGUNDA REUNIÓN

La Jolla, California (EE.UU.)

9-12 de mayo de 2011

DOCUMENTO SAC-02-07

**CONDICIÓN DEL ATÚN PATUDO EN EL OCÉANO PACÍFICO
ORIENTAL EN 2010 Y PERSPECTIVAS PARA EL FUTURO**

Alexandre Aires-da-Silva y Mark N. Maunder

Este documento presenta la evaluación más actual de la población de atún patudo (*Thunnus obesus*) en el Océano Pacífico oriental (OPO). Se usó en la evaluación un modelo de evaluación de poblaciones estadístico integrado con estructura por edad (*Stock Synthesis*; Versión 3.20b), igual que el modelo de caso base en la evaluación previa ([Informe de Evaluación de Stocks 11](#) de la CIAT).

El atún patudo se encuentra distribuido por todo el Océano Pacífico, pero la mayor parte de la captura proviene de las zonas oriental y occidental del mismo. Las capturas cerqueras de aleta amarilla son sustancialmente más bajas cerca del límite occidental del OPO (150°O); las capturas palangreras son más continuas, pero relativamente bajas entre 160°O y 180°. El patudo no es capturado frecuentemente con arte de cerco en el OPO al norte de 10°N, pero una porción sustancial de las capturas palangreras de patudo en el OPO proviene del norte de ese paralelo. El patudo no se desplaza grandes distancias (el desplazamiento neto del 95% de los patudos marcados es de menos de 1000 millas náuticas), e la información actual indica desplazamientos netos mínimos entre el OPO y el Océano Pacífico central y occidental. Esto es consistente con que las tendencias de la captura por unidad de esfuerzo (CPUE) difieran entre zonas. Es probable que exista una población continua por todo el Océano Pacífico, con intercambio de individuos a escala local. Se realiza la evaluación como si existiera una sola población en el OPO, y ocurriera intercambio limitado de peces entre el OPO y el Océano Pacífico central y occidental. Sus resultados son consistentes con aquéllos de otros análisis del atún patudo a escala del Pacífico entero. Además, los análisis han demostrado que los resultados no son sensibles a la estructura espacial del análisis. Actualmente, no existen suficientes datos de marcado para brindar estimaciones adecuadas de los desplazamientos entre el OPO y el Océano Pacífico central y occidental.

La evaluación de la población requiere una cantidad sustancial de información. Se analizaron datos de capturas retenidas, descartes, captura por unidad de esfuerzo (CPUE), y datos de talla por edad y composición por tamaño de las capturas de varias pesquerías distintas. Se hicieron también varios supuestos sobre procesos tales como crecimiento, reclutamiento, desplazamiento, mortalidad natural, y mortalidad por pesca (ver [Informe de Evaluación de Stocks 11](#)). Se actualizaron los datos de captura y CPUE de las pesquerías de superficie para incluir datos nuevos de 2010. Se dispone de datos nuevos o actualizados de la captura palangrera de Polinesia Francesa (2009), Japón (2008-2010), Corea (2009) y Estados Unidos (2008-2009). Se dispone de datos de captura de 2010 para China, Taipei Chino y Vanuatu de las estadísticas de los informes mensuales. Se dispone de datos nuevos o actualizados de CPUE para la flota japonesa de palangre (2008-2010). Se dispone de datos nuevos de frecuencia de talla de la pesquería de cerco para 2010. Se dispone de datos nuevos o actualizados de frecuencia de talla para la flota japonesa de palangre (2007-2009).

Han ocurrido cambios importantes en la cantidad de mortalidad por pesca causada por las pesquerías que capturan atún patudo en el OPO. En promedio, desde 1993 la mortalidad por pesca de patudo de menos de unos 15 trimestres de edad ha aumentado sustancialmente, y la de los de más de unos 15 trimestres de

edad ha aumentado en un grado mucho menor (Figuras 1 y 2). El aumento de la mortalidad por pesca de los peces más jóvenes fue causado por la expansión de las pesquerías de cerco que capturan atún en asociación con objetos flotantes. Queda claro que la pesquería de palangre ejerció el mayor impacto sobre la población antes de 1995, pero con la reducción del esfuerzo de palangre, y la expansión de la pesquería sobre objetos flotantes, en la actualidad el impacto de la pesquería de cerco sobre la población es mucho mayor que aquél de la pesquería de palangre (Figura 3). Los descartes de patudo pequeño tienen un impacto pequeño pero detectable sobre la merma de la población.

Dentro de la gama de biomazas reproductoras estimadas por la evaluación del caso base, la abundancia de los reclutas de patudo no parece estar relacionada con el potencial reproductor de las hembras adultas en el momento de cría.

La serie de tiempo de estimaciones de reclutamiento de patudo tiene varias características importantes (Figura 4). En primer lugar, las estimaciones del reclutamiento antes de 1993 son más inciertas, ya que las pesquerías sobre objetos flotantes no capturaban cantidades importantes de patudo pequeño. Hubo un período de reclutamiento anual superior al promedio en 1994-1998, seguido por un período de reclutamiento inferior al promedio en 1999-2000. Los reclutamientos fueron superiores al promedio entre 2001 y 2006, y fueron particularmente grandes en 2005 y 2006. El reclutamiento en 2009 estuvo por debajo del promedio, pero en 2010 parece haber sido particularmente grande. La estimación más reciente del reclutamiento anual (2009) es ligeramente inferior al nivel promedio. No obstante, esta estimación reciente es muy incierta, y debe ser considerada con cautela, debido a que el patudo recién reclutado está representado en solamente unas pocas muestras de frecuencia de talla.

Desde el principio de 2005, cuando el cociente de biomasa reproductora (*spawning biomass ratio*, o SBR: el cociente de la biomasa reproductora actual a aquélla de la población no explotada) de atún patudo su nivel mínimo histórico de 0,16, la población ha mostrado una tendencia recuperativa, a un SBR de 0,24 al principio de 2011 (Figura 5). Según el modelo de caso base, la estimación más reciente del SBR es un 21% mayor que el nivel de rendimiento máximo sostenible (RMS) (Tabla 1). Esta tendencia recuperativa reciente es subsiguiente a las resoluciones de conservación de la CIAT iniciadas en 2004.

Se estima que las capturas recientes han sido un 8% mayores que aquéllas correspondientes a los niveles de RMS (Tabla 1). Si la mortalidad por pesca (F) es proporcional al esfuerzo de pesca, y se mantienen los patrones actuales de selectividad por edad, el nivel de esfuerzo de pesca correspondiente al RMS es aproximadamente el 93% del nivel de esfuerzo actual (2008-2010) (Tabla 1).

Según los resultados del caso base, las dos estimaciones más recientes indican que la población de patudo en el OPO probablemente no se encuentra sobrepescada ($S > S_{RMS}$), pero que la mortalidad por pesca es ligeramente superior al nivel correspondiente al RMS (está ocurriendo sobrepesca, $F > F_{RMS}$) (Figura 6). No obstante, esta interpretación está sujeta a incertidumbre, tal como indican los intervalos de confianza aproximados alrededor de la estimación más reciente en la gráfica de Kobe (Figura 6). Añadir los nuevos datos de 2010 y los datos actualizados de años anteriores redujo el SBR en comparación con la evaluación previa. Ocurrieron asimismo patrones retrospectivos similares en las evaluaciones previas al añadir datos nuevos y actualizados. Los cambios caen generalmente dentro de los intervalos de confianza de las cantidades estimadas, y están bien por dentro de las gamas estimadas en varios análisis de sensibilidad de la evaluación previa.

El RMS de patudo en el OPO podría ser maximizado si el patrón de selectividad por edad fuese similar a aquél de las pesquerías de palangre, porque capturan peces más grandes de un peso cercano al crítico. Antes de la expansión de la pesquería sobre objetos flotantes que comenzó en 1993, el RMS fue mayor que el RMS actual, y la mortalidad por pesca fue menos que F_{RMS} (Figura 7).

Con los niveles actuales de mortalidad por pesca, se predice que los picos recientes en el reclutamiento no sostendrán la tendencia creciente del SBR observada desde 2004. Tanto el caso base como la evaluación que supone una relación población-reclutamiento indican que es probable que la población disminuya por

debajo del nivel correspondiente al RMS con condiciones de reclutamiento promedio (Figura 5). Se estima que las capturas serán menores en el futuro con los niveles actuales de esfuerzo de pesca si se supone una relación población-reclutamiento, particularmente en el caso de las pesquerías de superficie (Figura 8).

Estas simulaciones se basan en el supuesto que los patrones de selectividad y capturabilidad no cambiarán en el futuro. Cambios en las prácticas con respecto a los objetivos de la pesca, o una mayor capturabilidad de patudo a medida que disminuye la abundancia (por ejemplo, capturabilidad dependiente de la densidad) podrían resultar en diferencias de los resultados aquí predichos.

Resultados clave

1. Los resultados de esta evaluación indican una tendencia recuperativa reciente (2005-2010) del atún patudo en el OPO, subsiguiente a las resoluciones de conservación de atún de la CIAT iniciadas en 2004. No obstante, con los niveles actuales de mortalidad por pesca, se predice que los picos recientes en el reclutamiento no sostendrán esta tendencia de incremento.
2. Existe incertidumbre con respecto a los niveles de reclutamiento y biomasa recientes y futuros;
3. Se estima que las tasas recientes de mortalidad por pesca están ligeramente por encima del nivel correspondiente al RMS, y que los niveles recientes de la biomasa reproductora están por encima de dicho nivel. Tal como se describió en el [Informe de Evaluación de Stocks 11](#), estas interpretaciones son inciertas, y altamente sensibles a los supuestos correspondientes al parámetro de inclinación de la relación población-reclutamiento, el tamaño medio de los peces más viejos, los niveles supuestos de mortalidad natural del patudo adulto, y el período histórico de la explotación de patudo usado en la evaluación. Los resultados son más pesimistas si se supone una relación población-reclutamiento, un valor mayor para el tamaño medio de los peces viejos, y niveles más bajos de mortalidad natural del patudo adulto, y si se incluye solamente el período tardío de la pesquería (1995-2009) en la evaluación
4. Los resultados son más optimistas si se supone un valor más bajo para el tamaño medio de los peces viejos, y si se suponen niveles de mortalidad natural más altos para el patudo adulto.

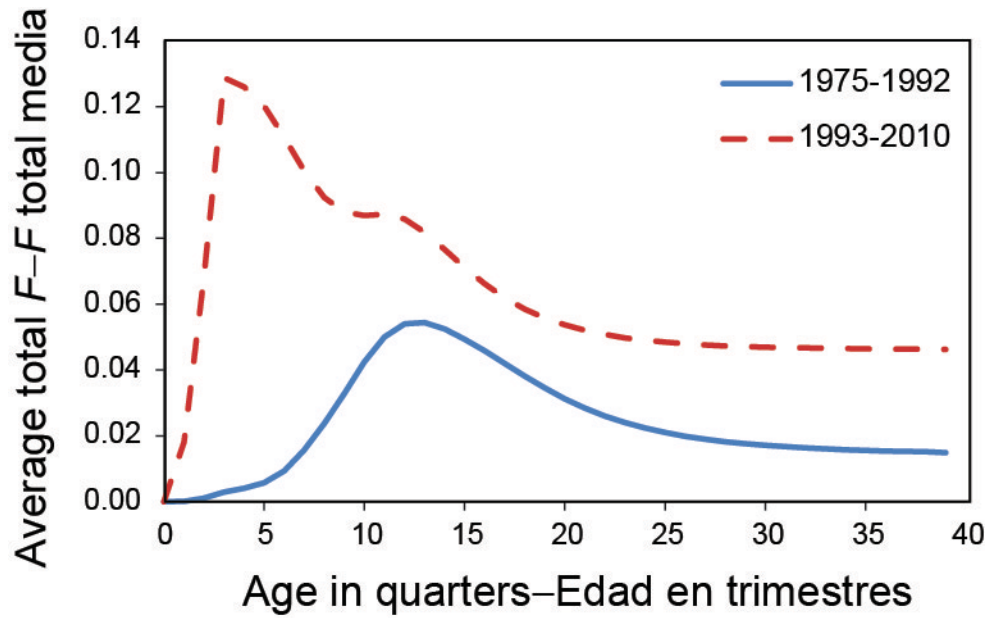


FIGURE 1. Average quarterly fishing mortality at age of bigeye tuna, by all gears, in the EPO. The curves for 1975-1992 and 1993-2010 display the averages for the periods before and after the expansion of the floating-object fisheries, respectively.

FIGURA 1. Mortalidad por pesca trimestral media por edad de atún patudo en el OPO, por todas las artes. Las curvas de 1975-1992 y 1993-2010 indican los promedios de los períodos antes y después de la expansión de las pesquerías sobre objetos flotantes, respectivamente.

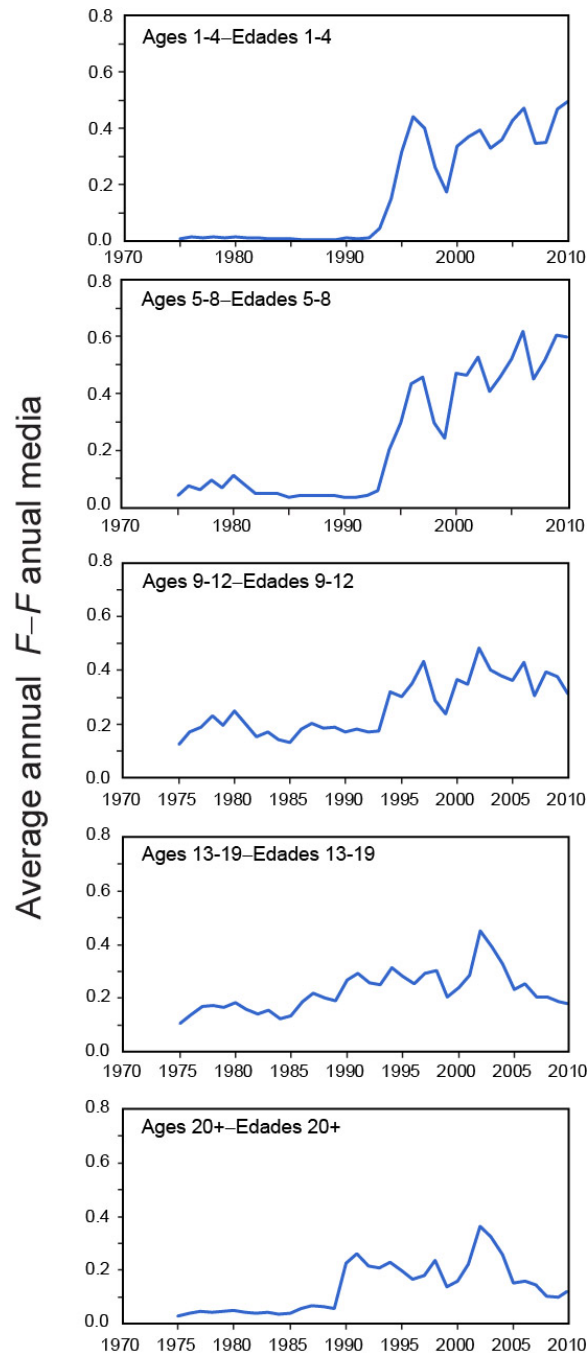


FIGURE 2. Average annual fishing mortality, by all gears, of bigeye tuna recruited to the fisheries of the EPO. Each panel illustrates the average fishing mortality rates that affected the fish within the range of ages indicated in the title of each panel. For example, the trend illustrated in the top panel is an average of the fishing mortalities that affected the fish that were 1-4 quarters old.

FIGURA 2. Mortalidad por pesca anual media, por todas las artes, de atún patudo reclutado a las pesquerías del OPO. Cada recuadro ilustra las tasas medias de mortalidad por pesca que afectaron a los peces de la edad indicada en el título de cada recuadro. Por ejemplo, la tendencia ilustrada en el recuadro de más arriba es un promedio de las mortalidades por pesca que afectaron a los peces de entre 1 y 4 trimestres de edad.

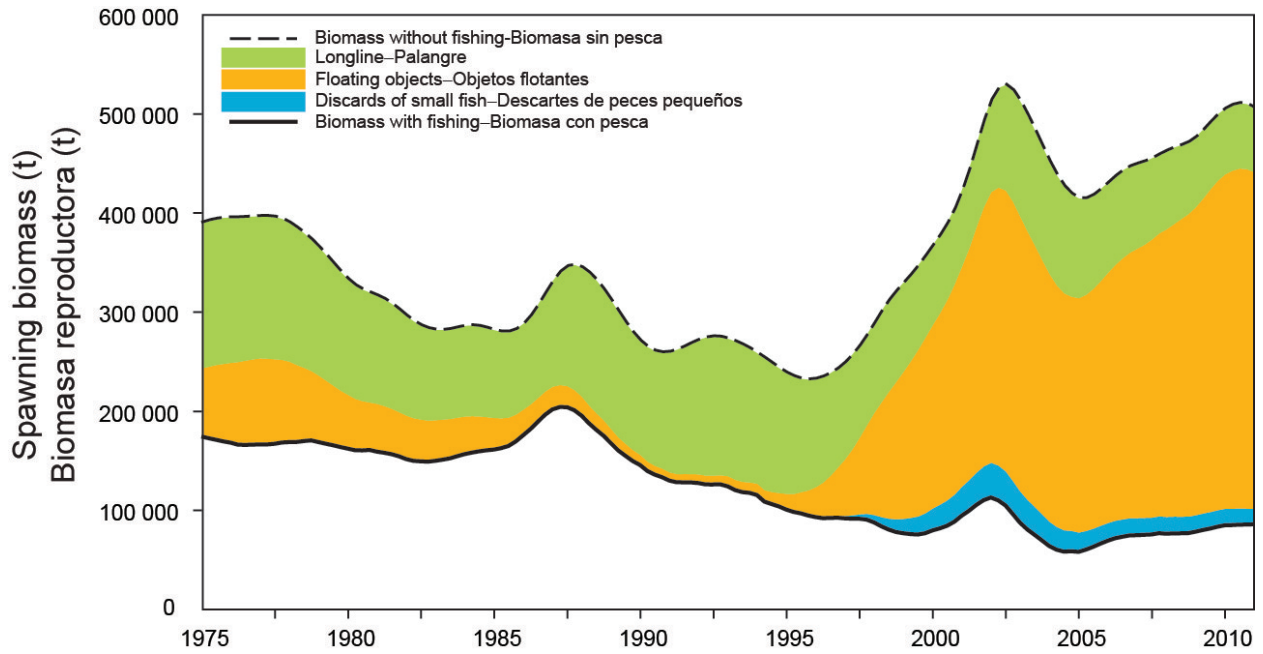


FIGURE 3. Trajectory of the spawning biomass of a simulated population of bigeye tuna that was not exploited (top line) and that predicted by the stock assessment model (bottom line). The shaded areas between the two lines show the portions of the impact attributed to each fishing method. t = metric tons.

FIGURA 3. Trayectoria de la biomasa reproductora de una población simulada de atún patudo no explotada (línea superior) y la que predice el modelo de evaluación (línea inferior). Las áreas sombreadas entre las dos líneas señalan la porción del efecto atribuida a cada método de pesca. t = toneladas métricas.

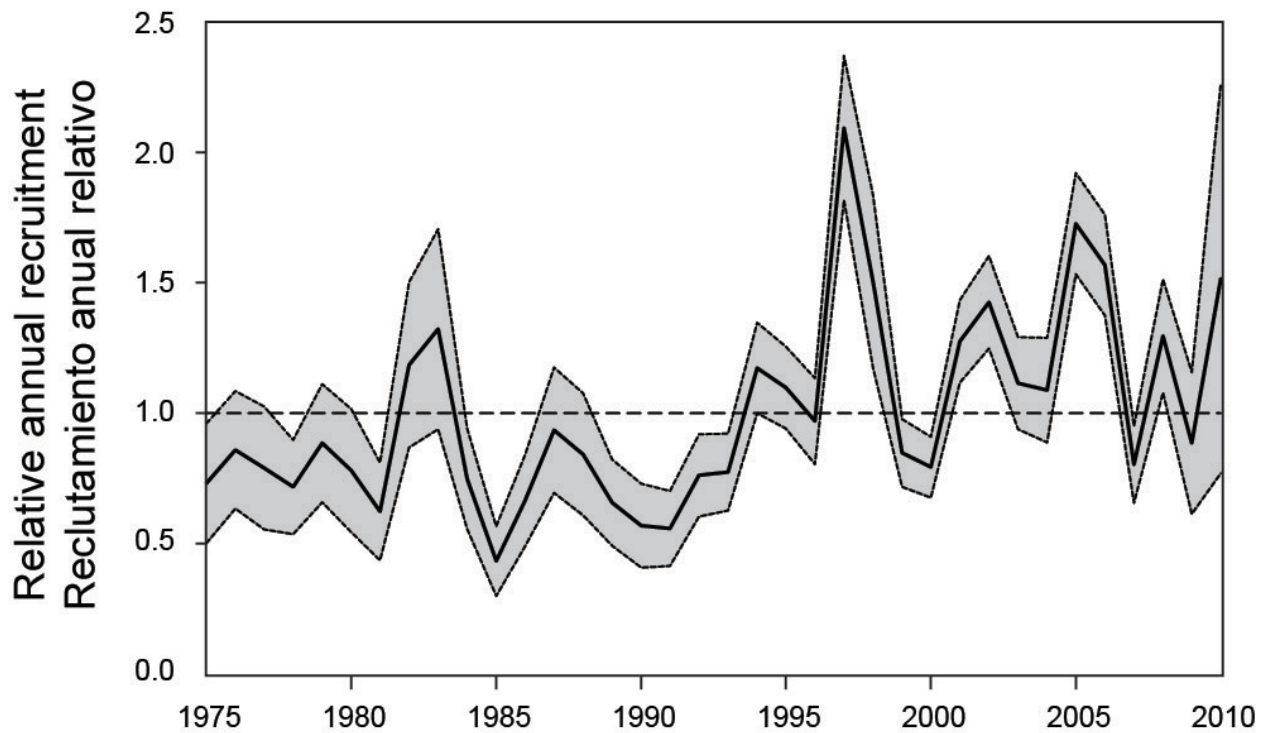


FIGURE 4. Estimated annual recruitment of bigeye tuna to the fisheries of the EPO. The estimates are scaled so that the estimate of virgin recruitment is equal to 1.0 (dashed horizontal line). The solid line shows the maximum likelihood estimates of recruitment, and the shaded area indicates the approximate 95% intervals around those estimates.

FIGURA 4. Reclutamiento estimado de atún patudo a las pesquerías del OPO. Se escalan las estimaciones para que la estimación de reclutamiento virgen equivalga a 1,0 (línea de trazos horizontal). La línea sólida indica las estimaciones de reclutamiento de verosimilitud máxima, y el área sombreada indica los intervalos de confianza de 95% aproximados de esas estimaciones.

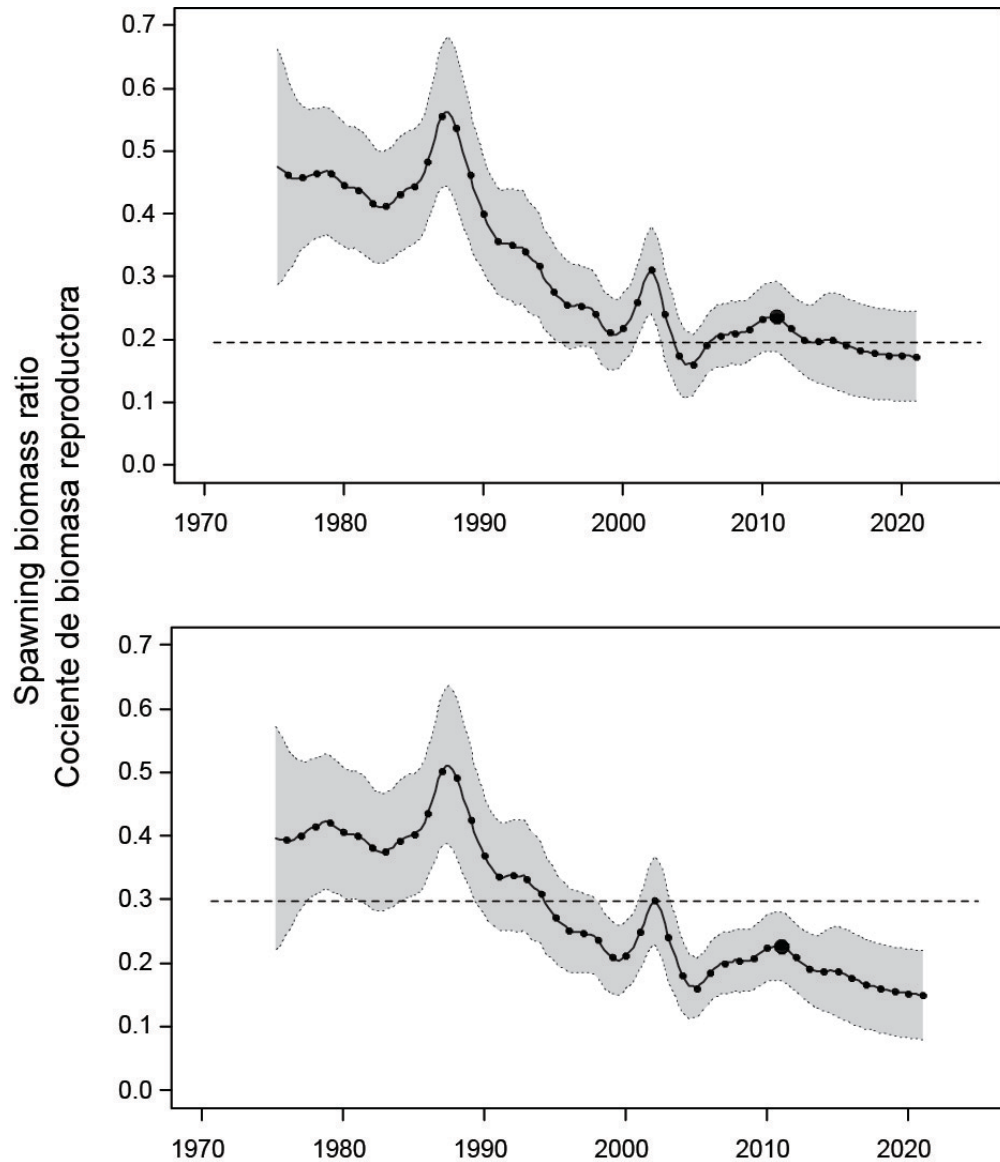


FIGURE 5. Spawning biomass ratios (SBRs) of bigeye tuna in the EPO, including projections for 2011-2020 based on average fishing mortality rates during 2008-2010 from the base case (top) and the analysis of sensitivity to the steepness of the stock-recruitment relationship (bottom). The dashed horizontal line (at about 0.19 and 0.30, respectively) identifies the SBR at MSY. The solid line illustrates the maximum likelihood estimates, and the estimates after 2010 (the large dot) indicate the SBR predicted to occur if fishing mortality rates continue at the average of those observed during 2008-2010. The dashed lines are the 95-percent confidence intervals around these estimates.

FIGURA 5. Cocientes de biomasa reproductora (SBR) del atún patudo en el OPO, incluyendo proyecciones para 2011-2020 basadas en las tasas medias de mortalidad por pesca durante 2008-2010 del caso base (arriba) y el análisis de sensibilidad a la inclinación de la relación población-reclutamiento (abajo). La línea de trazos horizontal (en aproximadamente 0.19 y 0.30, respectivamente) identifica el SBR en RMS. La línea sólida ilustra las estimaciones de verosimilitud máxima, y las estimaciones a partir de 2010 (el punto grande) señalan el SBR predicho si las tasas de mortalidad por pesca continúan en el promedio de aquéllas observadas durante 2008-2010. Las líneas de trazos representan los intervalos de confianza de 95% alrededor de esas estimaciones.

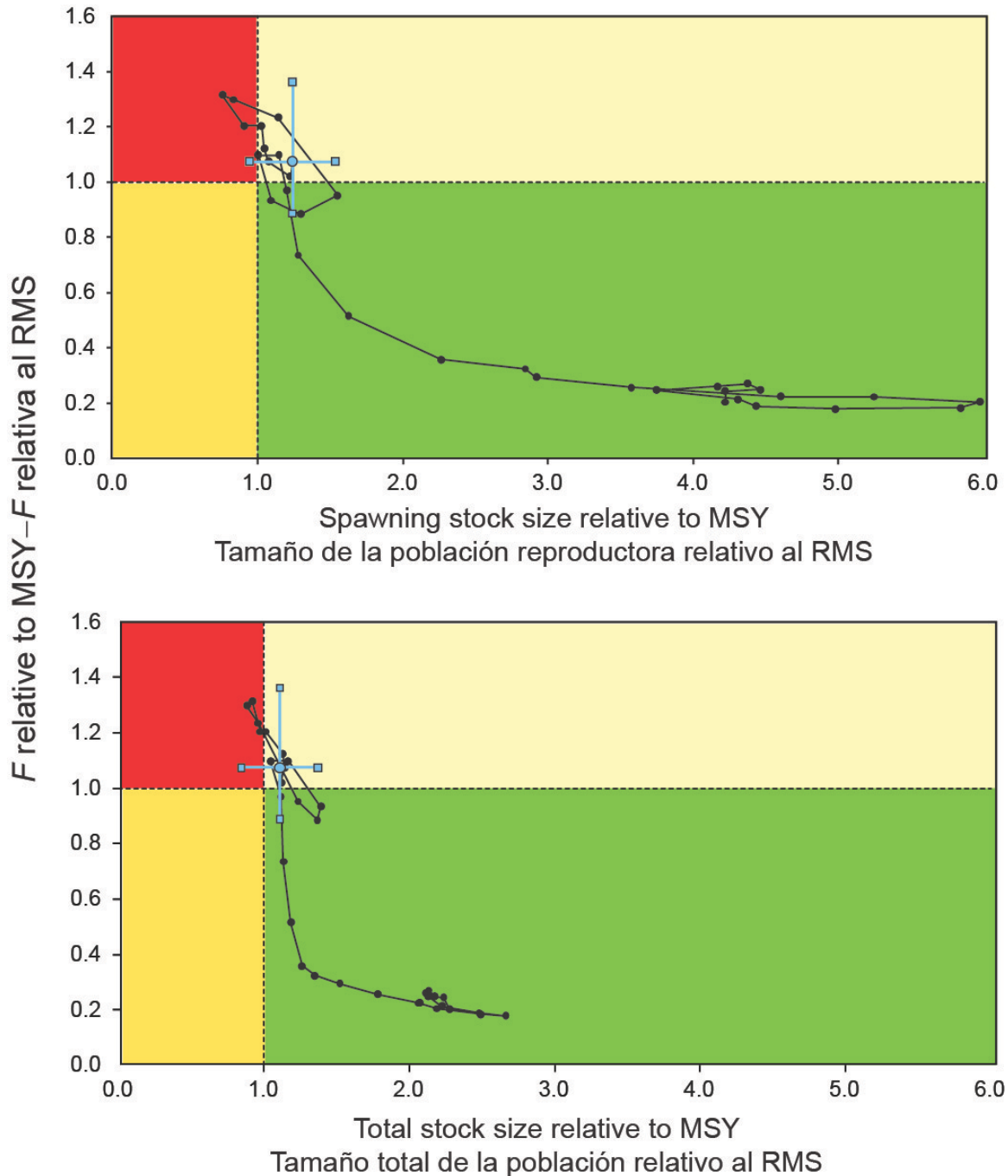


FIGURE 6. Kobe (phase) plot of the time series of estimates of stock size (top: spawning biomass; bottom: total biomass) and fishing mortality relative to their MSY reference points. Each dot is based on the average fishing mortality rate over three years; the large dot indicates the most recent estimate. The squares around the most recent estimate represent its approximate 95% confidence interval.

FIGURA 6. Gráfica de Kobe (fase) de la serie de tiempo de las estimaciones del tamaño de la población (arriba: biomasa reproductora; abajo: biomasa total) y la mortalidad por pesca en relación con sus puntos de referencia de RMS. Cada punto se basa en la tasa de explotación media de un trienio; el punto grande indica la estimación más reciente. Los cuadrados alrededor de la estimación más reciente representan su intervalo de confianza de aproximadamente 95%.

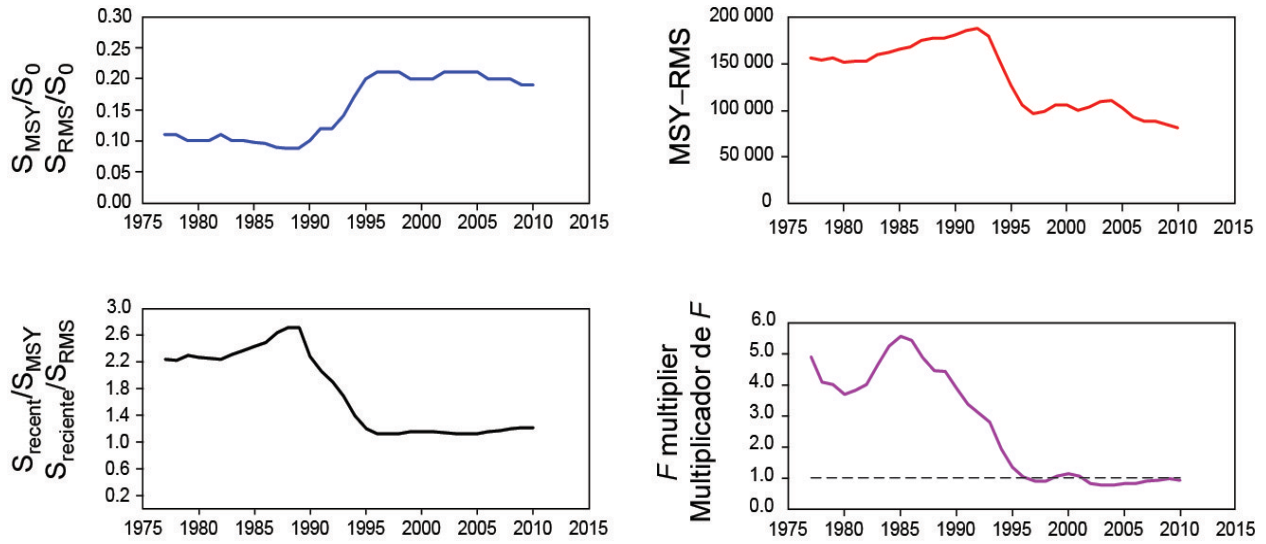


FIGURE 7. Estimates of MSY-related quantities calculated using the average age-specific fishing mortality for each year. (S_{recent} is the spawning biomass at the end of the last year in the assessment.)

FIGURA 7. Estimaciones de cantidades relacionadas con el RMS calculadas usando la mortalidad por pesca por edad media para cada año. ($S_{reciente}$ es la biomasa reproductora al fin del último año en la evaluación.)

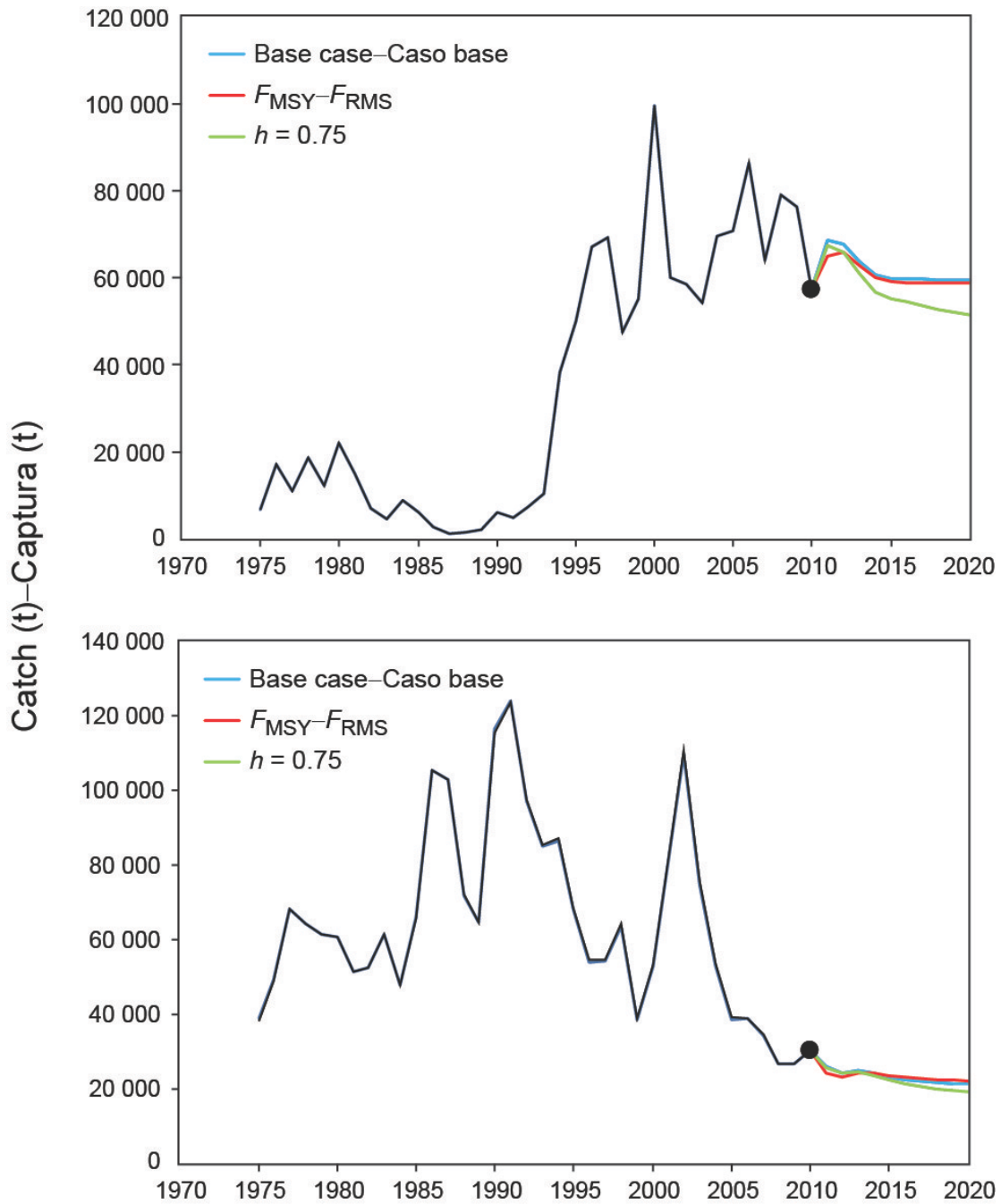


FIGURE 8. Historic and projected annual catches of bigeye tuna by the surface (top panel) and longline (bottom panel) fisheries from the base case while fishing with the current effort, the base case while fishing at the fishing mortality corresponding to MSY (F_{MSY}), and the analysis of sensitivity to steepness ($h = 0.75$) of the stock-recruitment relationship while fishing with the current effort.

FIGURA 8. Capturas anuales históricas y proyectadas de patudo por las pesquerías de superficie (arriba) y de palangre (abajo) del caso base con la pesca en el nivel actual de esfuerzo, del caso base con la pesca en la mortalidad por pesca correspondiente al RMS (F_{RMS}), y el análisis de sensibilidad a la inclinación ($h = 0.75$) de la relación población-reclutamiento al pescar con el esfuerzo actual.

TABLE 1. MSY and related quantities for the base case and the stock-recruitment relationship sensitivity analysis, based on average fishing mortality (F) for 2008-2010. B_{recent} and B_{MSY} are defined as the biomass, in metric tons, of fish 3+ quarters old at the start of the first quarter of 2010 and at MSY, respectively, and S_{recent} and S_{MSY} are defined as indices of spawning biomass (therefore, they are not in metric tons). C_{recent} is the estimated total catch for 2010.

TABLA 1. RMS y cantidades relacionadas para el caso base y el análisis de sensibilidad a la relación población-reclutamiento, basados en la mortalidad por pesca (F) media de 2008-2010. Se definen B_{reciente} y B_{RMS} como la biomasa, en toneladas, de peces de 3+ trimestres de edad al principio del primer trimestre de 2010 y en RMS, respectivamente, y S_{reciente} y S_{RMS} como índices de biomasa reproductora (por lo tanto, no se expresan en toneladas). C_{reciente} es la captura total estimada de 2010.

	Base case – Caso base	$h = 0.75$
MSY–RMS	80,963	77,473
$B_{\text{MSY}} - B_{\text{RMS}}$	311,247	547,291
$S_{\text{MSY}} - S_{\text{RMS}}$	70,509	137,670
$C_{\text{recent}}/\text{MSY} - C_{\text{reciente}}/\text{RMS}$	1.08	1.13
$B_{\text{recent}}/B_{\text{MSY}} - B_{\text{reciente}}/B_{\text{RMS}}$	1.11	0.75
$S_{\text{recent}}/S_{\text{MSY}} - S_{\text{reciente}}/S_{\text{RMS}}$	1.21	0.77
$B_{\text{MSY}}/B_{F=0} - B_{\text{RMS}}/B_{F=0}$	0.24	0.33
$S_{\text{MSY}}/S_{F=0} - S_{\text{RMS}}/S_{F=0}$	0.19	0.30
F multiplier—Multiplicador de F	0.93	0.65